Твердость: 120 лет

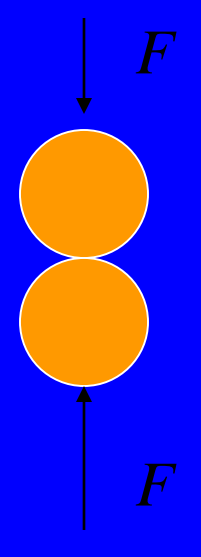
С. А. Федосов

Твердость:

- что же это такое;
- методы измерения.

Метод Герца

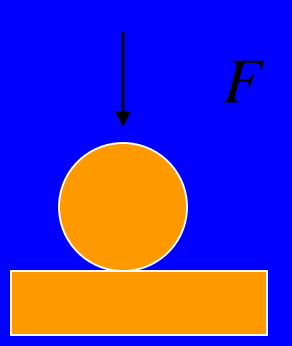
(1892)



$$P_0 = 3/2p_m = \left(\frac{6FE_r^2}{\pi^3 R^2}\right)^{1/3}$$

где p_m – среднее контактное давление, E_r – приведенный модуль упругости контактирующих тел: $E_r = [(1 - {\rm v_m}^2) \, / \, E_m + (1 - {\rm v_i}^2) \, / \, E_i \,]^{-1}, \, {\rm v}$ – коэффициент Пуассона, E_m и E_i модули упругости

материалов образца и индентора.



Опыты Ауэрбаха;

критика Губера

(1891-1896)

(1904)

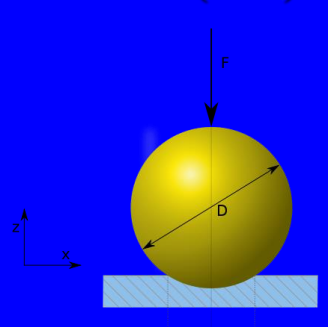
Метод Бринелля

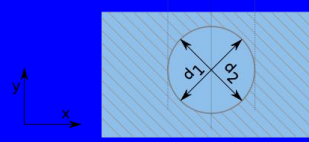
(1900)

Метод Роквелла

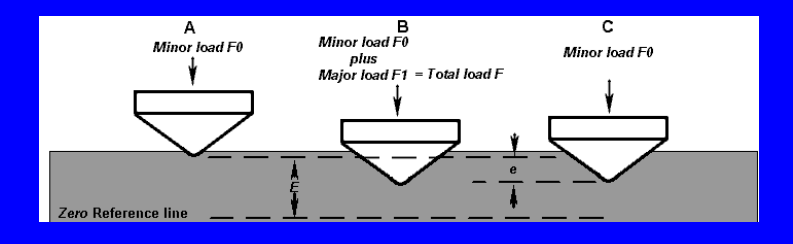
Метод Виккерса

(1914)



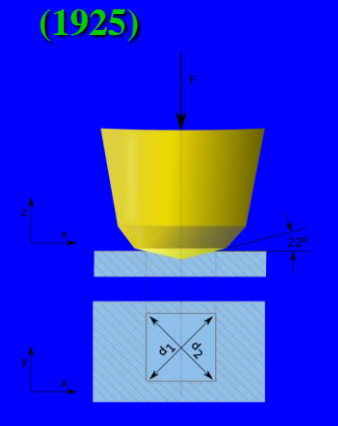


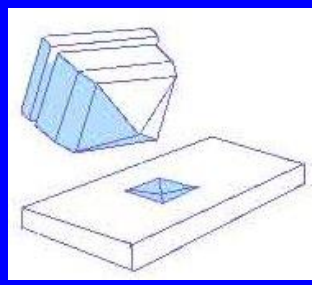
$$\mathbf{HB} = F / S_{\text{KOHT}}$$



HRA =
$$100 - \Delta h / 0{,}002$$

HRB = $130 - \Delta h / 0{,}002$
HRC = $100 - \Delta h / 0{,}002$





$$\mathbf{HV} = F / S_{\text{KOHT.}}$$

TIV метод → →

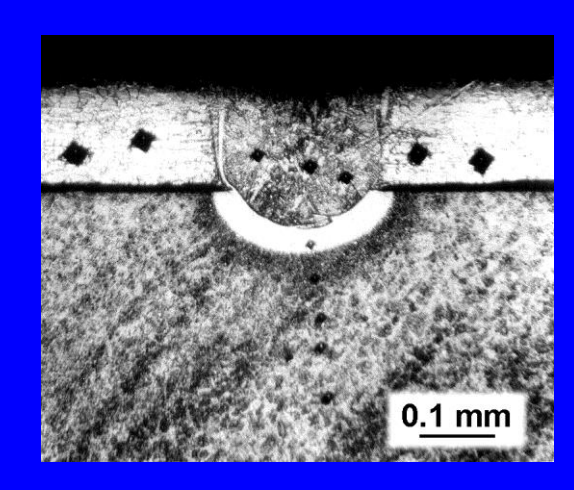
Метод Кнупа



Метод Мейера (1908)

$$\mathbf{HB} = F / S_{\text{проекц}}$$

Метод Кубасова(1909)

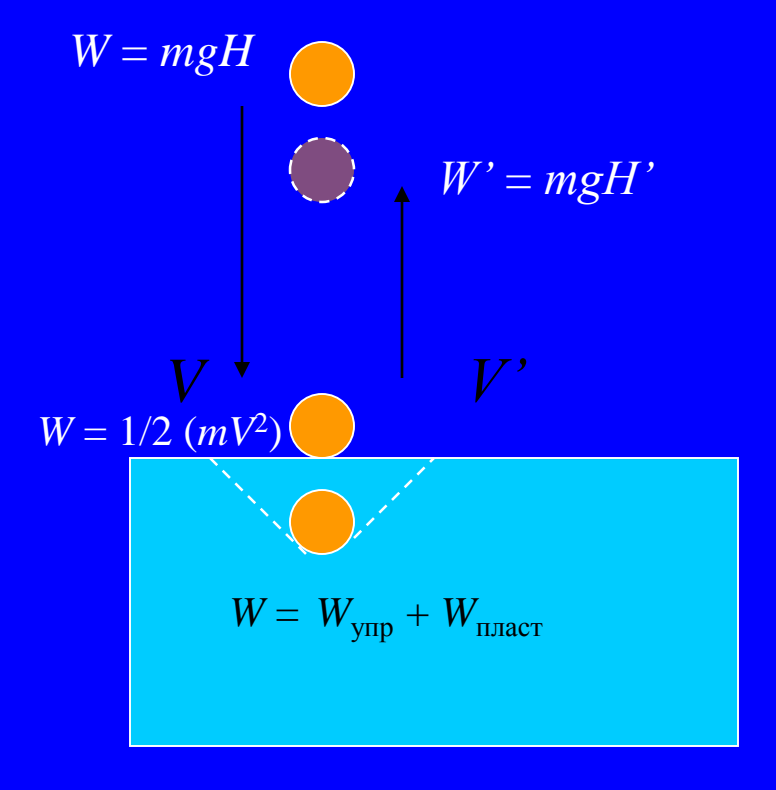


Поперечный шлиф сварной точки, полученной точечной лазерной сваркой ×100



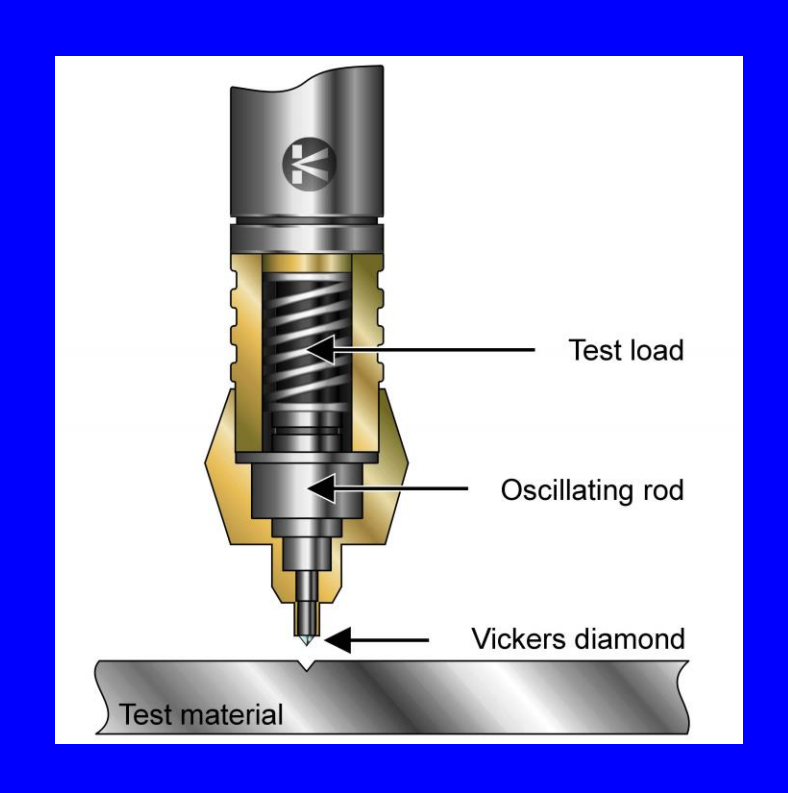
Сварочная дамасская сталь ×1000

Метод Шора (1920-е)



$$M$$
етод Либа (1975) $HL = (V/V') \times 1000$

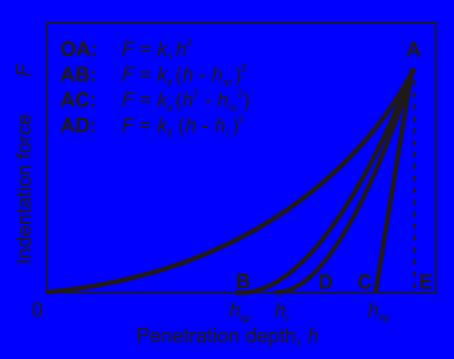
Контактно-импедансный метод (UCI)

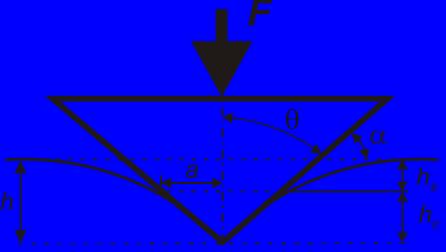


$$A_{S} = f_{I} (E_{i}, v_{i}, E_{m}, v_{m}) \times f_{2} (\Delta f / f_{0})$$

$$HV = HV_{UCI} \left(\frac{1/E_{n} + 1/E_{i}}{1/E_{m} + 1/E_{i}} \right)^{2}$$

Кинетический метод (Dept Sensing Indentation Testing - DSI)





Нагрузочно-разгрузочные кривые индицирования: 0A - нагрузочная ветвь; AD - реальная разгрузочная ветвь; AB и AC гипотетические разгрузочные ветви при, соответственно, полностью пластическом - и полностью упругом восстановлении отпечатков; F - индентирующая сила, h - заглубление индентора

$$S = \frac{dF_u}{dh_u} = \frac{2}{\sqrt{\pi}} E_r \sqrt{A_P}$$



Ультрамикротвердомер DUH-201S Shimadzu

Провели индентирование, измерили твердость.

Что дальше?

Связь твердости с прочностью

Уравнение Бринелля:

$$\sigma_{u} = 0.346 \text{ HB}$$

где σ_u – условный предел прочности, HB – твердость по Бриннелю.

Уравнение Tabor-Марковца:

$$\mathbf{H} = C \sigma_r$$

где H – твердость по Виккерсу или Бриннелю, а σ_r – напряжение при одноосной "репрезентативной" деформации e_r ; коэффициент C=3...3,2.

Уравнение Зайцева

$$\mathbf{H} \approx 2.94 \,\sigma_{e} (1 - \delta_{p}^{2})$$

где δ_{p} - равномерное удлиннение при испытании на растяжение.

Модель гидростатического ядра Джонсона:

$$p_{m} = \frac{2}{3}\sigma_{r} \left[1 + \ln \left(\frac{1}{3} \frac{Etg\alpha}{\sigma_{y}} \right) \right]$$

откуда
$$\mathbf{HV} = 0.93 p_m \approx 2.8 \sigma_r$$
, или $\mathbf{H_{IT}} \approx 3.0 \sigma_r$

10

Для материалов с иррегулярным законом твердения: (получено МКЭ моделированием)

$$\mathbf{H} = K_1 \sigma_1 + K_2 \sigma_h ,$$

где σ_l и σ_h – напряжения, соответствующие одноосной деформации соответственно в 0,02 и 0,35, а K – коэффициенты: K_l = 1, K_2 = 1,4 для индентора Виккерса и 1,55 для эквивалентного конического индентора.

ABI метод Хаггага (Haggag)

```
e_p=0.2\ d_p/D ; \sigma_I=4F/\pi\ d_p^2\delta; где: d_p=\{0.5\ C^*D\ [\ h_p^2+(d_p/2)^2]/\ [\ h_p^2+(d_p/2)^2-h_pD\ ]\}^{1/3}; C^*=5.47\ F\ (1/E_i+1/E_s); ; \phi=e_pE^2/0.43\sigma_I; \delta_{max}=(1.12...2.87)\alpha_m; \tau=(\delta_{max}-1.12)/\ln\ (27). Здесь \sigma_I — истинное напряжение; e_p — истинная пластическая деформация; D — диаметр шарового индентора; d_p и h_p — диаметр и глубина восстановленного отпечатка; \delta - параметр, зависящий от стадии развития пластической зоны под индентором; \alpha_m - параметр, связанный с чувствительностью материала образца к скорости нагружения (например, для материалов с низкой чувствительностью к скорости нагружения \alpha_m=1.0).
```

Измерение остаточных напряжений

Метод Суреша и Гианакопоулоса:

$$A_0 / A = 1 + \sigma^R / p_{av} \tag{+}$$

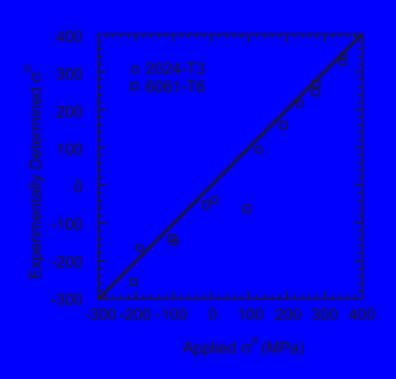
$$A_0/A \approx 1 - (\sigma^R \sin \alpha)/p_{av}$$
 (-)

при h = const

$$h_0^2 / h^2 = 1 - \sigma^R / p_m$$
 (+)

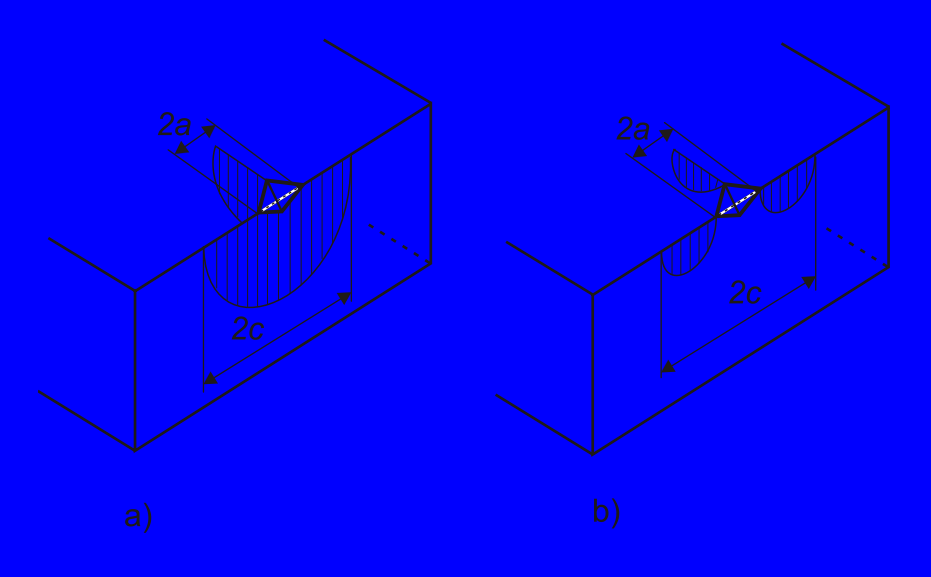
$$h_0^2/h^2 \approx 1 + (\sigma^R \sin \alpha)/p_{av}$$
 (-)

при F = const



Определение параметра K_{lc} у хрупких материалов

$$K_{1c} = \chi_{\rm r} F c^{-3/2}$$
.



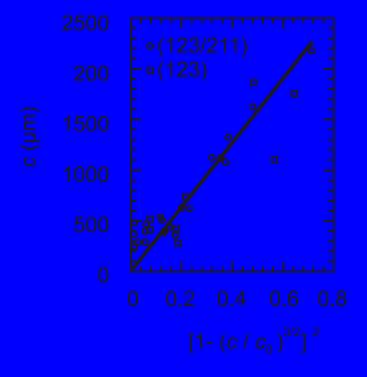
Геометрические параметры, используемые для расчета K_{1c} при индентировании хрупких материалов. Здесь с – радиус трещины, 2a = d – диагональ отпечатка Виккерса: а) полукруговая и b) бикруговая трещины.

№ п/ п	Тип трещин ы	Расчетная формула для K_{1c}	Литер атурн ый источ ник
1	M	$0,016 (E/H)^{1/2} (F/c^{3/2})$	[188]
2	M	$0.16 H a^{1/2} (c/a)^{-3/2}$	[189]
3	M	$H a^{1/2} (E/H)^{0,4} 10^x$	[190]
4	M	$0,067 H a^{1/2} (E/H)^{0,4} (c/a)^{-3/2}$	[191]
5	P	$0.018 H a^{1/2} (E/H)^{0.4} (c/a - 1)^{-1/2}$	[191]
6	P	$0,073 H a^{1/2} (E/H)^{0,4} (c/a)^{-1,56}$	[192]
7	P	$0,0889 (H F/4l)^{0,5}$	[193]
8	P	$0.015 (l/a)^{-0.5} (E/H)^{2/3} (F/c^{3/2})$	[194]
9	M	$0.01 (E/H)^{2/3} F/c^{3/2}$	[195]
10	M	$0,028 (H a^{1/2}) (E/H)^{1/2} (c/a)^{-1/2}$	[196]

Тип трещин: М – полукруговая монотрещина, Р – бикруговая политрещина Палмквиста; E – модуль Юнга; H – твердость; F – индентирующая сила; x = f(c/a); l = c - a.

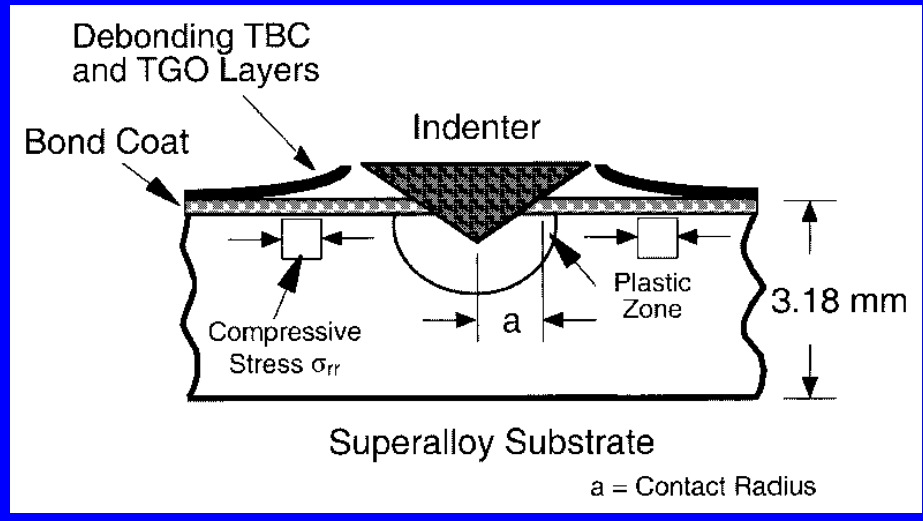
Оценка термостойкости

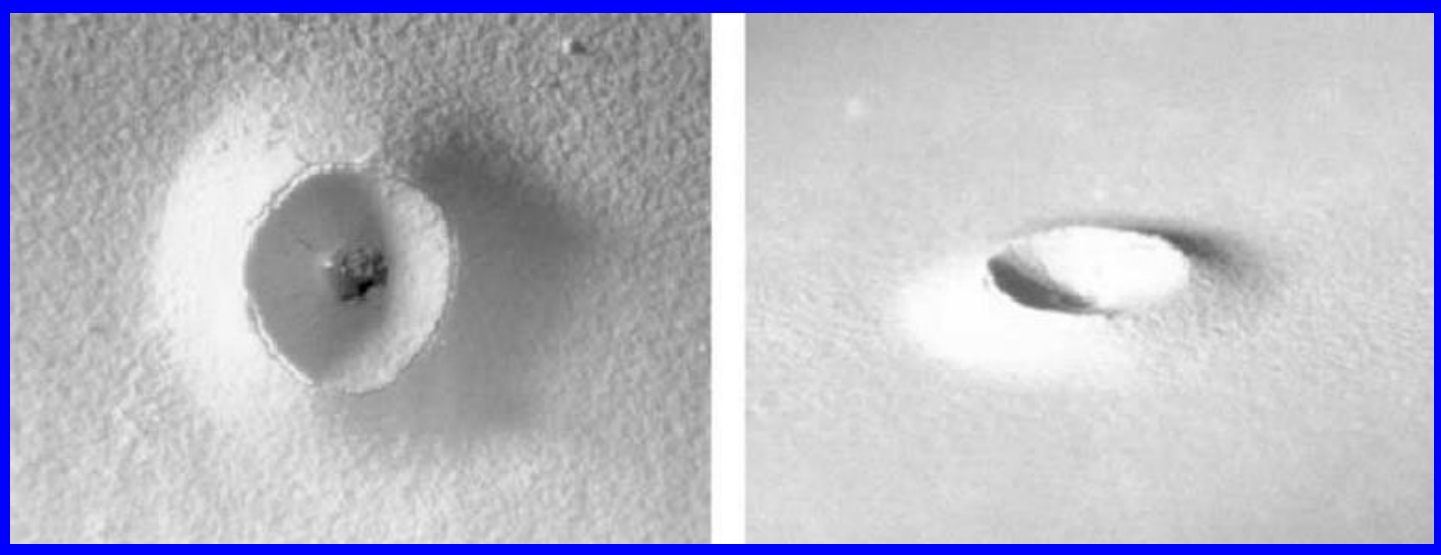
$$R_m = \left(\frac{K_c}{\sigma_{th}}\right)^2 = \frac{\pi\Omega c}{\left[1 - \left(\frac{c}{c_0}\right)^{-3/2}\right]^2}$$
 (здесь $\Omega = 4\pi^2$)



Зависимость c от $[1-(c/c_0)^{-3/2}]^2$ для $YBa_2Cu_3O_{7-x}$ керамики (123) и для $YBa_2Cu_3O_{7-x}/Y_2BaCuO_2$ керамики (123/211), закаленных в жидкий водород

Определение адгезии покрытий





«Мягкое покрытие на жесткой подложке»:

$$G = \frac{0.627H_f^2t(1-v_f^2)}{E_f[1+v_f+2(1-v_f)H_fR^2/F]^2}$$

где H_f - твердость покрытия, t - толщина покрытия, R - радиус линзы отслоения (граничной трещины), F - нагрузка, а v_f и E_f - коэффициент Пуассона и модуль упругости материала покрытия

<u>Энергия адгезии DGEBA покрытия на</u> силикатном стекле (эксперимент):

Индентированием 25,2 ($\pm 8,7$) Дж/м² двойной консольной балки 8,1 ($\pm 1,7$) четырехточечного изгиба 15,0 ($\pm 0,4$)

«Жесткое покрытие на мягкой подложке»

$$\frac{2G(1-\nu)^{2}}{E^{eff}} = \left\{ \varepsilon_{r} + \nu \varepsilon_{\theta} - \frac{(1-\nu^{2})\varepsilon_{\theta} \left[1 - \left(\frac{R_{i}}{R}\right)^{2}\right]}{1-\nu) + (1+\nu)\left(\frac{R_{i}}{R}\right)^{2}} \right\}^{2}$$

$$2G = \frac{3(1-v^2)(\sigma_0^{TGO} - \sigma_0^{TBC})^2 t_{TGO}^2}{(t^{TGO} + t^{TBC})E^{TBC}}$$

ГДе:
$$K = \sqrt{\frac{GE_r^{TGO}(1-\alpha)}{1-\beta^2}}$$
 $\alpha = \frac{E_r^{TGO} - E_r^{Bondcoat}}{E_r^{TGO} + E_r^{Bondcoat}}$

$$\beta = \frac{\mu^{TGO}(k^{Bondcoat} - 1) - \mu^{Bondcoat}(k^{TGO} - 1)}{\mu^{TGO}(k^{Bondcoat} + 1) + \mu^{Bondcoat}(k^{TGO} + 1)} \qquad \mu = \frac{E}{2(1 + \nu)}$$

(Совпадение с табличными данными по порядку величины)

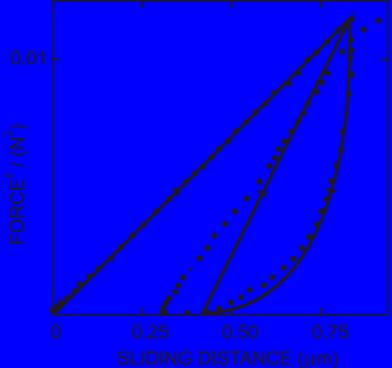
Определение адгезионных свойств волокнистых композитов

$u = F^2 / 4\pi^2 r^3 \tau E_f - 2\Gamma / \tau$

где 2Γ - поверхностная энергия разрушения на единицу площади раздела, c - длинна срыва адгезии (оценка c была произведена из баланса энергий). В отсутствии адгезии (Γ = 0) c = l

При учете деформации матрицы:

$$\mathbf{N} = \frac{\mathbf{N}\mathbf{E}}{\mathbf{Q}^0} \qquad \qquad \text{при } \sigma_0 \leq \sigma_d; \\
u = \frac{1}{2nE} \left(\frac{\sigma_0^2}{\sigma_d} + \sigma_d \right) \qquad \qquad \text{при } \sigma_0 > \sigma_d; \\
u = \frac{1}{2nE} \left(\frac{\sigma_{\text{max}}^2}{\sigma_d} + \sigma_d + 2(\sigma_0 - \sigma_{\text{max}}) \right) \qquad \qquad \text{при } \\
u = \frac{1}{2nE} \left(\frac{\sigma_{\text{max}}^2}{\sigma_d} - \sigma_d - \frac{(\sigma_0 - \sigma_{\text{max}})^2}{2\sigma_d} \right) \qquad \qquad \text{при } \sigma_0 \leq \sigma_S;$$



Сравнение экспериментальных (точки) и теоретических (линии) нагрузочных кривых при индентировании торца

волокна композита

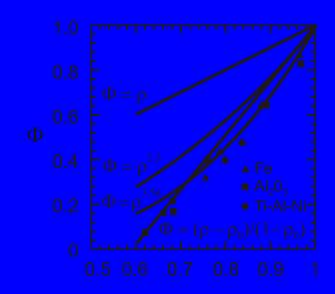
 $n=\sqrt{\frac{2k}{rE}}$ где k- глобальная жесткость, такая, что $\tau=kw$. , $r\log\left(\frac{R_{eq}}{$

Определение пористости

В общем случае: $\sigma_{\rho} = \Phi \, \sigma_{\theta}$ где σ_{ρ} есть напряжение пластической деформации при одноосном сжатии материала с относительной плотностью ρ , σ_{0} - то же в монолитном состоянии, а $\Phi = f(\rho)$ - функция относительной плотности.

Так как $H\sim \sigma$, то определив относительную твердость H_{ρ}/H_{θ} можно рассчитать ρ , если известно Φ .

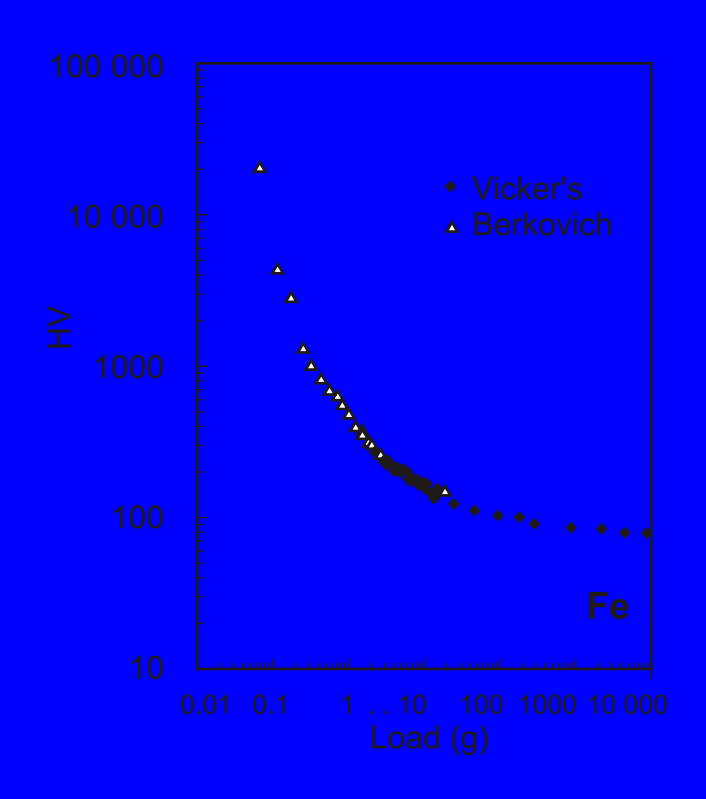
$$Φ = ρ;$$
 $Φ = ρ^{2,5};$
 $Φ = ρ^{3,56}$
 $Φ = exp[-a(1-ρ)];$
 $Φ = (2ρ^2 - 1)^{0,5};$
 $Φ = (ρ - ρ_0)/(1-ρ_0)$



Сравнение различных функций интенсификации напряжений в пористых телах Φ с экспериментальными данными (принято $\rho_0 = 0.6$)

Осложняющие факторы

Размерный эффект

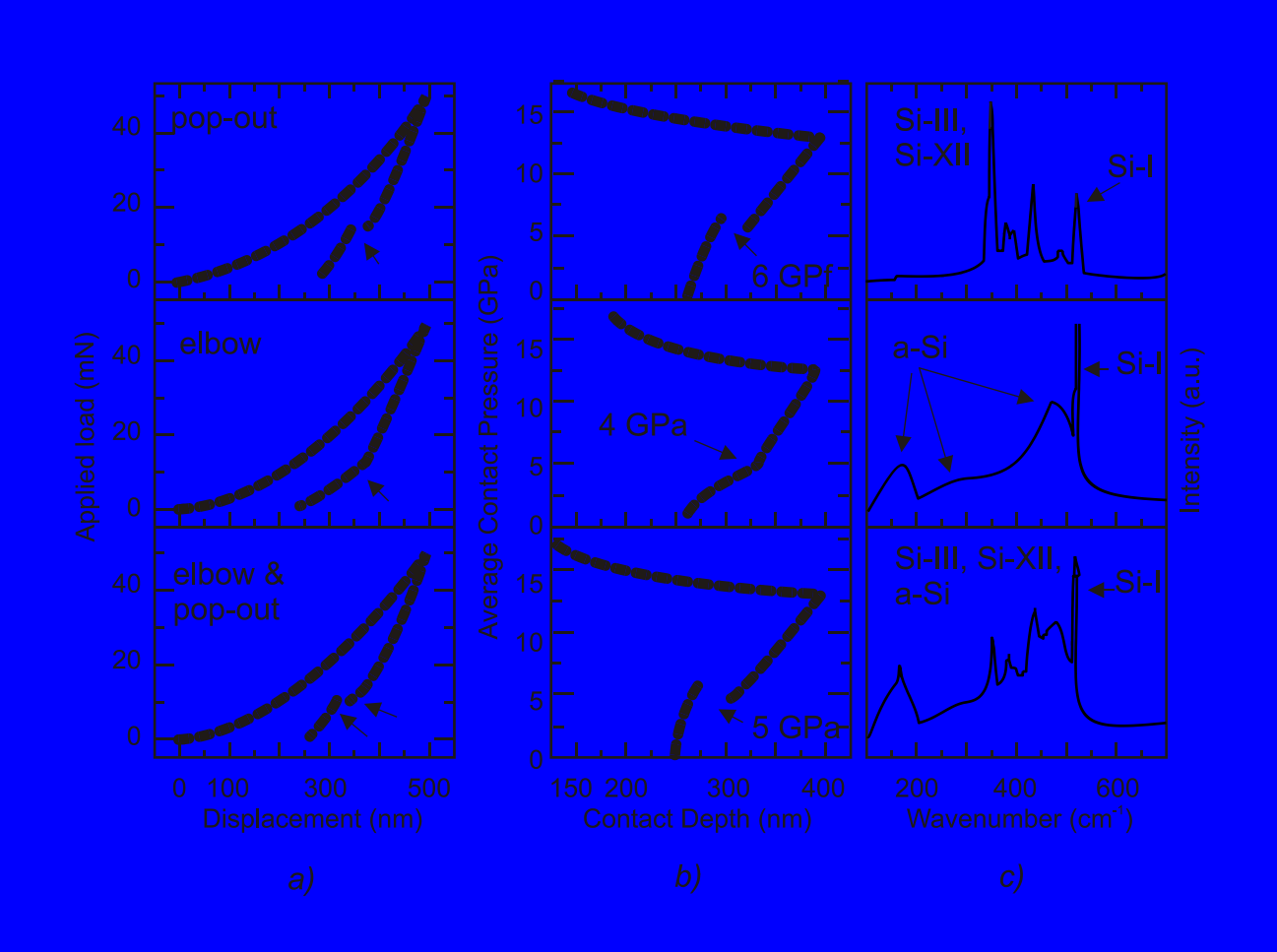


Влияние нагрузки на измеренную твердость технического железа

Основные причины:

- і) влияние внешних вибраций;
- іі) наклеп поверхности образца при полировке;
- ііі) увеличение относительной погрешности измерения размеров отпечатка;
- iv) большей относительной долей упругого восстановления для маленьких отпечатков;
- v) индентирование "бездислокационных" объемов с твердостью, приближающейся к теоретическому пределу, когда размер отпечатка становится соизмерим с междислокационными расстояниями;
- vi) наклеп во время индентирования; vii) влияние границ зерен и включений;
- viii) увеличение относительного влияния несовершенства индентора при уменьшении отпечатка, большее для индентора Виккерса, меньшее для Берковича.

Фазовые превращения под индентором



Величина пластической деформации под индентором

Классика:	
Tabor	8%
Марковец (результаты получены анализом впечатанных сеток)	6%
Геометрический анализ на основе формулы Марковца	6,2%
Регрессионная подгонка экспериментальных результатов к уравнению Tabor-a	8-11%
Модель гидростатического ядра Джонсона	7%
2D МКЭ моделирование Большакова	10%
3D МКЭ моделирование Гианнакопоулоса (за рубежом признано стандартом de-facto)	29-30%
Безразмерный П-анализ	3,3%
МКЭ моделирование Чаудхри	2536 %
Эксперименты по индентированию меди Чаудхри	56 % (у поверхности) 2536 % (у вершины) 200% (под вершиной)